

Д. т. н. В. З. Абдрахимов¹ (✉), к. т. н. Е. С. Абдрахимова²

¹ ФГАОУ «Самарский государственный экономический университет», г. Самара, Россия

² ФГАОУ «Самарский университет (Самарский национальный исследовательский университет имени академика С. П. Королева)», г. Самара, Россия

УДК 666.774:628.4.038

ИСПОЛЬЗОВАНИЕ ОБОЖЖЕННОГО ШЛАМА В КАЧЕСТВЕ ШАМОТА И ЕГО ВЛИЯНИЕ НА ФАЗОВЫЙ СОСТАВ КИСЛОТОУПОРОВ

Приведены результаты исследований кислотоупорных материалов, полученных из необогащенной глины, шамота из обожженной при 1200 °C каолиновой глины и высокоглиноземистого ($\text{Al}_2\text{O}_3 > 70\%$) прокаленного шлама щелочного травления — отхода производства Самарского металлургического комбината. Показано, что из необогащенной каолиновой глины, содержащей Al_2O_3 менее 18 %, невозможно получить кислотоупорный материал при температуре обжига 1300 °C, в то время как использование в керамических массах оптимального количества шамота (40 %) позволяет на основе необогащенной каолинитовой глины получить при 1300 °C кислотоупорный материал, соответствующий требованиям стандарта. Введение в керамическую массу высокоглиноземистого сырья прокаленного шлама щелочного травления в количестве 40 % (как и шамота) обеспечивает получение изделий с высокими физико-механическими показателями уже при 1250 °C.

Ключевые слова: кислотоупоры, высокоглиноземистый шлам щелочного травления, необогащенная каолиновая глина, шамот.

ВВЕДЕНИЕ

Настоящая работа является продолжением работы [1], касающейся использования высокоглиноземистого ($\text{Al}_2\text{O}_3 > 70\%$) нанотехногенного сырья в производстве кислотоупорных плиток на основе необогащенной каолинитовой глины.

Самарский металлургический завод работает полностью на привозных цветных металлах [2, 3]. При обработке металлов образуется алюмосодержащее техногенное сырье в виде шламов и шлака, которые в основном отправляются в отвалы. Однако шлам щелочного травления с высоким содержанием $\text{Al}_2\text{O}_3 (> 70\%)$ является ценнейшим сырьем для производства кислотоупоров. Его использование в производстве, в частности, кислотоупорных плиток отвечает требованиям рамочной директивы ЕС 2008/98/ЕС, в которой указывается, что защитой биосфера эффективной утилизацией является использование отходов в новом продукте, необходимом для человека [4].

При изготовлении кислотоупорных изделий в России в качестве отощителя используют шамот, для получения которого требуется обжиг каолиновой глины (1200 °C). Очевидно, в качестве отощителя целесообразнее использовать обожженный при 800 °C шлам щелочного травления, чем обжигать при 1200 °C каолиновую глину на шамот.

В Советском Союзе для производства оgneупорной и кислотоупорной керамики использовали каолины (каолиновые глины) украинских месторождений. Запасы разведанных каолинов на территории Советского Союза составляли примерно 500 млн т [5]; около половины из них сосредоточены в основном в Украине. Во многих российских регионах месторождения спекающихся каолиновых глин с содержанием Al_2O_3 более 18 %, пригодных для производства кислотоупоров, либо ограничены, либо отсутствуют [6–8]. В то же время в качестве отощителей необходимо использовать сырьевые материалы, содержащие более 50 % Al_2O_3 .

Цель настоящей работы: 1 — получение высококачественных кислотоупоров на основе необогащенной каолиновой глины и шамота из высокоглиноземистого ($\text{Al}_2\text{O}_3 > 70\%$) прокаленного шлама щелочного травления Самарского металлургического комбината; 2 — исследование влияния шамота из шлама щелочного трав-



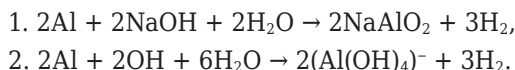
В. З. Абдрахимов
E-mail: 3375892@mail.ru

ления на технические показатели и фазовый состав кислотоупоров.

ЭКСПЕРИМЕНТАЛЬНАЯ ЧАСТЬ

Сырьевые материалы. Для получения кислотостойкого материала использовали сырьевые компоненты Самарской области: необогащенную каолиновую глину Чапаевского месторождения в качестве глинистого связующего, шамот из обожженной при 1200 °C каолиновой глины в качестве отощителя и высокоглиноземистое ($\text{Al}_2\text{O}_3 > 70\%$) сырье Самарского металлургического комбината — прокаленный шлам щелочного травления. Химический (оксидный и поэлементный) и минеральный составы, микроструктура каолиновой глины и шамота из каолинитовой глины приведены в статье [1]. Химический и минеральный составы отхода производства — шлама щелочного травления и керамических образцов определяли с применением современных методов, описанных в предыдущей статье [1].

Шлам щелочного травления. Образуется в результате обработки щелочью NaOH алюминийсодержащих сплавов. В этом случае происходящая реакция может быть записана двумя способами:



Интенсивное выделение водорода свидетельствует о быстром растворении алюминия и может служить сигналом для выгрузки деталей из раствора.

После регенерации щелочей из отработанных травильных растворов осаждается глиноземсодержащий шлам, концентрирующийся на дне ванны и постепенно кристаллизующийся. Шламы этой группы отличаются высоким содержанием Al_2O_3 (47,29 %) и R_2O (9,48 %). В составе неметаллических материалов Al_2O_3 чаще всего встречается в качестве высокотемпературной α -модификации, являющейся аналогом корунда с высокой температурой плавления (2050 °C) [1, 2, 8–10] и обладающей повышенной абразивностью и твердостью. Остальные модификации (γ , δ , θ - и β - Al_2O_3) — искусственные и переходят в α - Al_2O_3 с высокими объемными изменениями. Усредненный оксидный химический состав отхода производства приведен в табл. 1.

Поэлементный химический состав прокаленного при 800 °C шлама щелочного травления, мас. %: O 40,81, Na 5,45, Mg 6,42, (Al + Ti) 43,32, Si 0,20, K 3,58, Ca 0,22.

Прокаленный шлам щелочного травления. Для обогащения оксидом алюминия шлама щелочного травления его прокаливали во вращающейся печи (рис. 1) при 800 °C. Предложен запатентованный способ обогащения оксидом алюминия алюмосодержащих шлаков и шламов с повышенными $\Delta t_{\text{прк}}$ [11]. Содержание Al_2O_3 в шламе после обогащения увеличилось от 47,29 до 72,48 % (см. табл. 1).

С увеличением содержания в керамических массах Al_2O_3 , как правило, повышаются прочность сформованных, сухих и обожженных изделий, их огнеупорность и термостойкость [1, 12, 13]. Таким образом, процесс обогащения при 800 °C шлама оксидом алюминия менее энергозатратный, чем обжиг каолиновой глины на шамот.

Микроструктура прокаленного при 1000 °C шлама щелочного травления показана на рис. 2. Как видно из рис. 3, основным минералом шлама является корунд (75 %). Кроме корунда в составе шлама наблюдаются также ортоклаз

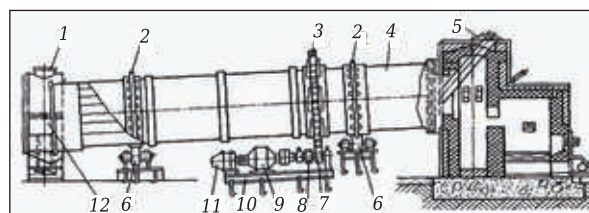


Рис. 1. Вращающаяся печь: 1 — патрубок; 2 — бандаж; 3 — венцовая шестерня; 4 — сварной стальной цилиндр; 5 — загрузочный питатель; 6 — опорный ролик; 7 — подвенцовая шестерня; 8 — зубчатая пара; 9 — редуктор; 10 — сварная плита; 11 — электродвигатель; 12 — разгрузочная камера

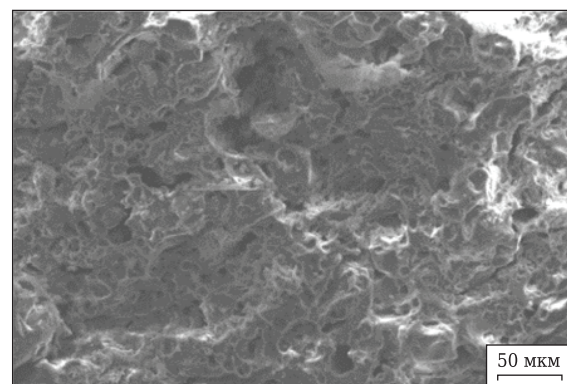


Рис. 2. Микроструктура прокаленного при 1000 °C шлама щелочного травления. $\times 300$

Таблица 1. Усредненный оксидный химический состав отхода производства*, мас. %

Отход производства	SiO_2	Al_2O_3	CaO	MgO	R_2O
Шлам щелочного травления	1,30	47,29	1,38	6,45	9,48
То же, прокаленный при 800 °C	1,72	72,48	2,04	9,48	14,28

* $\Delta t_{\text{прк}}$ шлама щелочного травления до прокаливания 34,1 мас. %.

(5 %), альбит (8 %) и шпинель (10 %). Дифрактограмма прокаленного шлама щелочного травления (рис. 4, а) подтверждает присутствие в нем этих минералов. В табл. 2 приведены свойства кристаллических фаз, присутствующих в прокаленном шламе щелочного травления. Видно, что все четыре минерала можно отнести к прочным (твердость >5).

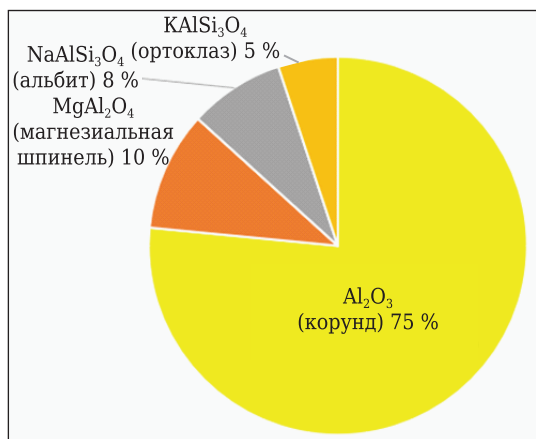


Рис. 3. Минеральный состав прокаленного при 1000 °C шлама щелочного травления

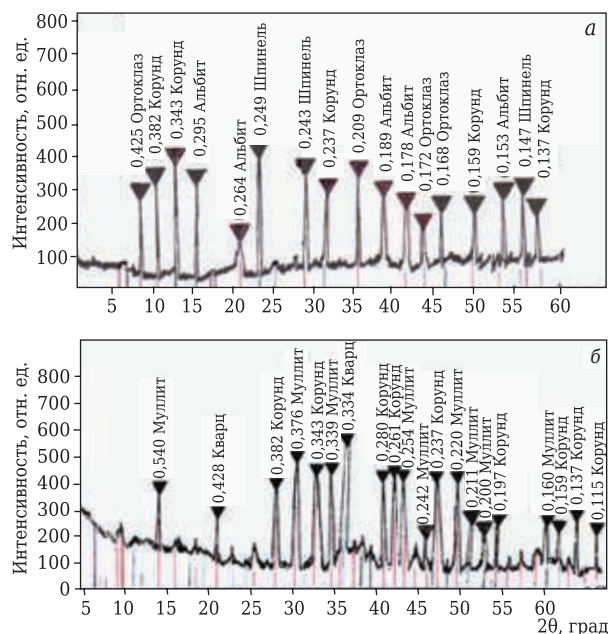


Рис. 4. Дифрактограммы прокаленного шлама щелочного травления (а) и образца оптимального состава № 3, обожженного при 1300 °C (б)

Таблица 3. Составы и свойства керамических масс

Компонент. показатель	Содержание компонента, мас. %, в составе		
	№ 1	№ 2	№ 3
Необогащенная каолиновая глина	100	60	60
Шамот из обожженной каолиновой глины	—	40	—
Прокаленный шлам щелочного травления	—	—	40
Свойства керамических масс:			
пластичность шихты	13	8	9
длительность сушки кирпича, ч	68	48	45
усадка (высушенного кирпича), %	5,8	5,2	4,5

Получение кислотоупорных плиток. Замена кислотоупорного кирпича кислотоупорной плиткой позволит снизить расход сырья в 2,5 раза, а массу футеровки почти в 3 раза [1]. Авторы настоящей статьи исследовали получение кислотоупорных плиток марки КШ (кислотоупорные шамотные). Керамическую массу (шихту) составов, приведенных в табл. 3, готовили пластическим способом при влажности 22–24 % (24 % для состава № 1). Из массы формовали квадратные плитки типа ПК-1 (размерами 100×100×20/10 мм), высушивали их до остаточной влажности 5–7 % и обжигали при 1250 и 1300 °C. В табл. 4 приведены показатели кислотоупорных плиток оптимального состава № 3*, в табл. 5 — расчетный химический состав керамических масс (шихт). Как видно из табл. 5, по химическому составу керамические массы № 2 относятся к группе полукислых, а керамические массы № 3 — к группе шамотных. На рис. 4, б показана дифрактограмма, а на рис. 5 — ИК-спектр образца оптимального состава № 3, обожженного при 1300 °C.

ОБСУЖДЕНИЕ РЕЗУЛЬТАТОВ

Введение в керамическую массу прокаленного шлама щелочного травления в количестве 40 % (как и шамота) снижает число пластичности от 13 до 9 (см. табл. 3), поэтому дальней-

* Физико-механические показатели, дифрактограммы и ИК-спектры образцов кислотоупорных плиток составов № 1 и 2 приведены в предыдущей статье [1].

Таблица 2. Свойства кристаллических фаз (минералов), входящих в прокаленный шлам щелочного травления

Минерал	Температура плавления, °C	Плотность, г/см ³	Твердость по шкале Мооса	Микротвердость, кг/мм ²
Корунд	2050	3,9–4,1	9	2108
Ортоклаз $\text{K}[\text{AlSi}_3\text{O}_8]$	1150	2,54–2,57	6	714–850
Альбит $\text{Na}[\text{AlSi}_3\text{O}_8]$	1020	2,61–2,63	6	535–695
Магнезиальная шпинель MgAl_2O_4	2135	4,05	7,5–8	1378–1505

Таблица 4. Физико-механические показатели кислотоупорных плиток оптимального состава № 3, обожженных в интервале 1250–1300 °C

Показатель	Плитки состава № 3, обожженные при температуре, °C		Плитки по ГОСТ 961–89 «Плитки кислотоупорные и термокислотоупорные» марки КШ	
	1250	1300		
Водопоглощение, %	3,8	2,5	Менее 5	
Кислотостойкость, %	98,9	99,0	Не менее 98	
Предел прочности, МПа:				
при сжатии	84,2	85,5	»	50
при изгибе	47,8	62,4	»	25
Морозостойкость, циклы	84	98	»	20
Термостойкость, теплосмены	8	10	»	5

Таблица 5. Расчетный химический состав керамических масс (шихт) № 2 и 3, мас. %

Масса	SiO ₂	Al ₂ O ₃	Fe ₂ O ₃	CaO	MgO	R ₂ O	Δm _{прк}
№ 2	68,87	17,85	3,55	3,51	0,94	0,60	4,68
№ 3	43,71	40,89	1,87	2,75	4,78	6,00	–

шее увеличение количества отощителя нецелесообразно, так как связующая способность каолиновой глины исчерпывается и на изделиях могут появиться трещины. Прокаленный шлам щелочного травления, в отличие от отработанного катализатора, используемого в качестве высокоглиноземистого отощителя в предыдущей работе [1] для получения кислотоупорных плиток, проявил себя более эффективно, так как физико-механические показатели с его использованием значительно улучшились (см. табл. 4 настоящей статьи и табл. 5 предыдущей статьи [1]). Очевидно, это связано с тем, что прокаленный шлам щелочного травления исключает образование кристобалита (см. рис. 3, б и рис. 5).

Использование шлама щелочного травления в производстве кислотоупорных материалов позволяет получить изделия с высокими физико-механическими характеристиками уже при температуре обжига 1250 °C (см. табл. 4). Показатели высокоглиноземистой керамики улучшаются при увеличении содержания Al₂O₃ и кристаллических фаз. С повышением температуры (>1300 °C) ее прочностные характеристики могут ухудшаться, особенно при значительном увеличении количества стеклофазы [1, 12–15].

Показано [16, 17], что повышенное содержание щелочей (R₂O) в керамических массах исключает образование в интервале 1000–1300 °C кристобалита. Повышенное содержание в составе № 3 щелочных оксидов (6,00 %, см. табл. 5) взаимодействуют, в первую очередь, с аморфным кремнеземом. При взаимодействии аморфного кремнезема с оксидами щелочей они переводят его в расплав. Таким образом, прокаленный шлам щелочного травления исключает образование кристобалита в кислотоупорных материалах.

Кристаллизация корунда в образцах состава № 3 при 1300 °C подтверждается полосами поглощения на ИК-спектре 760, 680, 610, 520 и 410 cm⁻¹ (см. рис. 5).

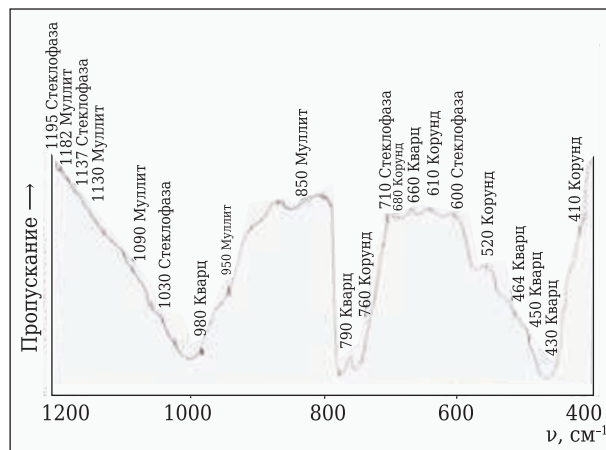


Рис. 5. ИК-спектр образца оптимального состава № 3

ЗАКЛЮЧЕНИЕ

◆ Добавление в керамическую массу оптимального количества шамота (40 %) позволяет получить кислотоупорные плитки, соответствующие требованиям стандарта по физико-механическим показателям при температуре обжига 1300 °C.

◆ Введение в керамическую массу высокоглиноземистого прокаленного шлама щелочного травления в количестве 40 % (как и шамота) позволяет получить изделия с высокими физико-механическими показателями уже при температуре обжига 1250 °C.

◆ Использование высокоглиноземистого прокаленного шлама в составах керамических масс уменьшает содержание SiO₂, а значит, содержание муллита также уменьшается, так как некоторая часть Al₂O₃ выделяется в виде корунда, который улучшает технические показатели кислотоупоров и отличается высокой химической стойкостью к кислым и щелочным реагентам.

◆ Повышенное содержание щелочей (> 5 %) в обожженном шламе исключает образование в

кислотоупорах в интервале 1000–1300 °C кристобалита, появляющегося в результате модификационного превращения из аморфного кварца, выделившегося из каолинита при муллитообразовании. Кристобалит ухудшает прочностные показатели керамических материалов.

Библиографический список

1. **Абдрахимова, Е. С.** Влияние нанотехногенного высокоглиноземистого сырья на физико-механические показатели и фазовый состав кислотоупоров / Е. С. Абдрахимова, В. З. Абдрахимов // Новые огнеупоры. — 2021. — № 8. — С. 53–60.
2. **Хлыстов, А. И.** Перспективное использование глиноземсодержащих отходов промышленности в производстве жаростойких бетонов / А. И. Хлыстов, С. В. Соколова, М. Н. Баранова [и др.] // Экология и промышленность России. — 2021. — Т. 25, № 7. — С. 8–12.
3. **Абдрахимова, Е. С.** Рециклинг шлака от выплавки ферротитана в производстве сейсмостойкого кирпича на основе бейделлитовой глины / Е. С. Абдрахимова // Экология и промышленность России. — 2021. — Т. 25, № 7. — С. 32–36.
4. **Дубовник, О. Л.** Реформа европейского законодательства об отходах / О. Л. Дубовник // Российское право: образование, практика, наука. — 2005. — № 5. — С. 80–84.
5. **Добужинский, В. И.** Новая технология керамических плиток / В. И. Добужинский, М. С. Белопольский, А. С. Красноусова, А. Б. Хиж. — М. : Стройиздат, 1977. — 228 с.
6. **Абдрахимова, Е. С.** Физико-химические процессы при обжиге кислотоупоров / Е. С. Абдрахимова, В. З. Абдрахимов. — СПб. : Недра, 2003. — 273 с.
7. **Абдрахимов, В. З.** Применение алюмосодержащих отходов в производстве керамических материалов различного назначения / В. З. Абдрахимов // Новые огнеупоры. — 2013. — № 1. — С. 13–23.
8. **Абдрахимов, В. З.** Исследование фазового состава керамических материалов на основе алюмосодержащих отходов цветной металлургии, химической и нефтехимической промышленности / В. З. Абдрахимов, Е. С. Абдрахимова // Новые огнеупоры. — 2015. — № 1. — С. 3–9.
9. **Абдрахимов, В. З.** Использование в производстве жаростойких бетонов алюмосодержащего нанотехногенного сырья и отходов углеобогащения / В. З. Абдрахимов, Е. С. Абдрахимова // Строительство и реконструкция. — 2021. — № 1. — С. 96–105.
10. **Абдрахимов, В. З.** Влияние высокоглиноземистого шлама щелочного травления на технические показатели и фазовый состав кислотоупоров / В. З. Абдрахимов, Е. С. Абдрахимова // Стекло и керамика. — 2021. — № 9. — С. 17–20.
11. **Пат. 2394790 Российской Федерации.** МПК C 04 B 33/138. Способ получения кислотоупорных плиток / Абдрахимов В. З. ; опубл. 20.07.2010, Бюл. № 20.
12. **Тюлькин, Д. С.** Характеристики отечественного сырья для производства термостойких высокотемпературных корундомуллитовых огнеупоров / Д. С. Тюлькин, А. П. Плетнев // Сб. науч. тр. междунар. конф. «СТРОЙСИБ-2016: Ресурсы и ресурсосберегающие технологии в материаловедении», Новосибирск, 2016. — С. 204–209.
13. **Абдрахимов, В. З.** Экологические и практические аспекты использования отходов цветной металлургии в производстве кислотоупоров и плиток для полов / В. З. Абдрахимов, А. К. Каирбакаев, Е. С. Абдрахимова. — Актобе : Учреждение Актюбинского ун-та имени академика С. Баишева, 2018. — 200 с.
14. **Логвинков, С. М.** Муллит и соединение группы силлиманита в технологии керамики и огнеупоров / С. М. Логвинков, Н. А. Остапенко, Г. Н. Шабанова [и др.] // Вестник НТУ «ХПИ». — 2017. — № 49. — С. 39–48.
15. **Будников, П. П.** Химическая технология керамики и огнеупоров / П. П. Будников, В. Л. Балкеевич, А. С. Бережной [и др.]. — М. : Изд-во лит-ры по стр-ву, 1972. — 552 с.
16. **Павлов, В. Ф.** Особенности превращения кремнезема, содержащегося в глинах / В. Ф. Павлов // Тр. НИИстройкерамики. — 1973. — Вып. 38. — С. 3–11.
17. **Павлов, В. Ф.** Физико-химические основы обжига изделий строительной керамики / В. Ф. Павлов. — М. : Стройиздат, 1977. — 272 с.
18. **Абдрахимова, Е. С.** Основы технической керамики / Е. С. Абдрахимова, В. З. Абдрахимов. — Усть-Каменогорск : Восточно-Казахстанский гос. техн. ун-т, 2001. — 161 с. ■

Получено 06.09.21

© В. З. Абдрахимов,
Е. С. Абдрахимова, 2022 г.

НАУЧНО-ТЕХНИЧЕСКАЯ ИНФОРМАЦИЯ

Международная выставка ММММ 2022 минерального сырья, металлов, металлургии, металлообработки в Дели, Индия



13th International Exhibition and Conference on Minerals, Metals, Metallurgy & Materials

25–27 августа 2022 г.

Нью-Дели, Индия

<http://mmmm-expo.com/en-GB>